

# О сжатии томографических данных<sup>1</sup>

Д. В. Сушко, Ю. М. Штарьков

Институт проблем передачи информации, Российская академия наук, Москва, Россия

Поступила в редколлегию 1.12.2008

**Аннотация**—Предложен метод сжатия (кодирования) изображений без искажений после частичной декорреляции отсчетов. Он основан на кардинальном уменьшении числа параметров исходной статистической модели. Рассмотрена специфика томографических изображений и способы ее учета для повышения эффективности сжатия. Приведены экспериментальные данные.

## 1. ВВЕДЕНИЕ

В настоящее время созданы и быстро пополняются многочисленные банки данных томографических исследований, используемых в медицине для диагностики, лечения и других задач. Они позволяют врачам и исследователям обмениваться этими данными, проводить на расстоянии консультации, вести научную работу и т. д.

Однако хранение и передача томографических данных затруднены их большим объемом. Действительно, результат томографического исследования – набор до сотен томограмм, каждая из которых – полутоновое изображение большого размера с большим диапазоном значений яркости в каждой точке. Поэтому на передачу одной томограммы может потребоваться несколько секунд, а на набор томограмм – в десятки и сотни раз больше. Такие задержки неудобны для пользователей. Один из способов их уменьшения – сжатие данных.

В настоящей работе рассмотрен один из подходов к сжатию изображений, основанный на универсальном арифметическом кодировании. Использована статистическая модель “источника изображений” с вычислимой последовательностью состояний. Применены два одновременно используемых способа кардинального сокращения числа неизвестных параметров модели, увеличивающие сжатие несмотря на уменьшение точности статистического описания данных. В результате разработан метод сжатия изображений без искажений.

Выбор свободных параметров этого метода позволяет адаптировать его к различным типам изображений. Эта задача была решена для компьютерных томограмм. Корреляция последовательных срезов тканей не использовалась, а для декорреляции отсчетов отдельной томограммы применялся переход к ошибкам предсказания. Для шести реальных томограмм трех видов тканей определены оптимальные параметры алгоритма сжатия и соответствующие скорости кодирования. Приведены экспериментальные данные.

## 2. МОДЕЛЬ ИЗОБРАЖЕНИЯ И ДЕКОРРЕЛЯЦИЯ

Полутоновое изображение – это матрица  $X = \{x_{ij}, i = 1, \dots, n_1, j = 1, \dots, n_2\}$  отсчетов  $x_{ij} \in A = \{0, 1, \dots, m - 1\}$  в точках  $(i, j)$ . Будем считать, что вероятность равенства  $x_{ij} = a$

<sup>1</sup> Работа частично поддержана в рамках программы фундаментальных исследований Президиума РАН “Фундаментальные науки — медицине”, проект “Разработка методов, алгоритмов и программ сжатия томографических изображений для их архивации, хранения и передачи по каналам связи”; работа второго автора частично поддержана РФФИ (проект № 06-01-00225).

зависит только от *контекста*  $\omega_{ij} - \tau$  отсчетов, координаты которых отличаются от  $(i, j)$  векторами  $\xi = (\xi_1, \xi_2)$  с целочисленными компонентами. Таким образом,  $p(x_{ij} = a) = p(a|\omega_{ij})$ , а  $\omega_{ij} - \tau$  – элемент множества  $\Omega \subseteq A^\tau$ .

Обычно изображение  $X$  состоит из однородных областей, в каждой из которых отсчеты  $x_{ij}$  можно аппроксимировать простой функцией  $\phi(i, j|\gamma) = \tilde{x}_{ij}$ . Это означает, что существует значение свободного векторного параметра  $\gamma$ , при котором неравенство  $|x_{ij} - \tilde{x}_{ij}| \ll m$  выполняется почти для всех точек соответствующей области.

Возможность такой аппроксимации – проявление глубокой статистической зависимости отсчетов. Все алгоритмы сжатия изображений в разной форме используют ее, несмотря на то что вероятности  $p(a|\omega_{ij})$ , границы однородных областей и значения параметра  $\gamma$  заранее не известны. Для этого перед кодированием (сжатием) обычно производят взаимно однозначное декоррелирующее преобразование отсчетов, уменьшающее область значений получаемых величин и/или увеличивающее для них неравномерность условных распределений вероятностей. Далее рассматривается самое простое из них – переход от отсчетов к ошибкам предсказания.

*Предсказание*  $\hat{x}_{ij} = \hat{x}(\omega_{ij}) \in A$  – функция отсчетов контекста  $\omega_{ij}$ , а *ошибка предсказания*

$$\delta_{ij} = x_{ij} - \hat{x}(\omega_{ij}) \in A(\omega_{ij}) = [-\hat{x}(\omega_{ij}), m - 1 - \hat{x}(\omega_{ij})] \subset A^* = [-m + 1, m - 1]$$

– буква алфавита  $A^*$ . Матрице  $X$  соответствует матрица  $\Delta$  ошибок предсказания. Попадание отсчетов контекста в разные однородные области уменьшает точность предсказания. Чем ближе отсчеты  $\omega_{ij}$  к точке  $(i, j)$ , тем реже возникают такие ситуации и сильнее статистическая зависимость  $x_{ij}$  от  $\omega_{ij}$ .

Предсказанием может служить значение функции  $\phi(i, j|\gamma)$  (см. выше), в которой  $\gamma$  – аргумент минимума  $\sigma_{ij}$  суммы взвешенных ошибок аппроксимации отсчетов  $\omega_{ij}$ :

$$\sigma_{ij} = \sigma(\omega_{ij}) = \min_{\gamma} \left[ \sum_{(\xi_1, \xi_2)} \alpha(\xi_1, \xi_2) |x_{i-\xi_1, j-\xi_2} - \phi(i - \xi_1, j - \xi_2|\gamma)|^\lambda \right], \quad (1)$$

где  $\lambda \geq 1$  – константа, а  $|z|$  – модуль вещественного числа  $z$ . Коэффициенты  $\alpha(\xi_1, \xi_2) > 0$ , в сумме равные 1, позволяют учесть разную степень статистической зависимости  $x_{ij}$  от отсчетов контекста. Размерность вектора  $\gamma$  должна быть меньше  $\tau$ : в противном случае правая часть (1) может стать тождественно равной нулю. Функция  $\phi(i, j|\gamma) = \text{const}$  определяет предсказание *нулевого порядка*.

Последовательная обработка элементов матриц  $X$  и/или  $\Delta$  означает их упорядочение в виде последовательностей  $x^n = x_1, \dots, x_n$  и  $\delta^n = \delta_1, \dots, \delta_n$ , где  $n = n_1 \times n_2$ . Если  $x_{ij} = x_k$ , а  $\omega_{ij} = \omega_k$  содержит только отсчеты с индексами  $k' < k$ , то  $X$  и  $\Delta$  описываются моделью с вычислимой последовательностью состояний (контекстов) и условными распределениями вероятностей  $\tilde{p}(\delta_k|\omega_k) \neq p(x_k|\omega_k)$ . При этом вероятность  $p(\delta^n)$  – произведение  $\tilde{p}(\delta_k|\omega_k)$  по  $k = \overline{1, n}$ , а декодирование  $\delta_k$  и восстановление  $x_k$  происходят без задержки. Построчный просмотр – один из видов упорядочения.

### 3. КОДИРОВАНИЕ ОШИБОК ПРЕДСКАЗАНИЯ

Все чаще в алгоритмах сжатия применяют *универсальное арифметическое* кодирование. При арифметическом кодировании (см., например, [1]) множество  $Q = \{ \{q(\delta|\omega), \delta \in A(\omega)\}, \omega \in \Omega \}$  *словых* условных распределений вероятностей используется для того, чтобы любой последовательности  $\delta^n$  приписать кодовую вероятность  $q(\delta^n)$  и *словое* (результат сжатия) длины  $L(\delta^n) < -\log q(\delta^n) + 2$  бит (здесь и далее  $\log z = \log_2 z$ ). Задача универсального кодирования – выбор  $\{q(\delta|\omega)\}$  при неизвестных  $\{\tilde{p}(\delta|\omega)\}$ .

Пусть  $\delta^n(\omega)$  – подпоследовательность независимых (согласно используемой модели) букв, “порождаемых” в состоянии  $\omega \in \Omega$ ,  $n(\omega)$  – длина  $\delta^n(\omega)$ , а  $n(\delta|\omega)$  – число вхождений буквы  $\delta$  в  $\delta^n(\omega)$ . Тогда *скорость кодирования* (среднее число  $L(\delta^n)/n$  бит, затрачиваемых на описание одной ошибки предсказания) равна

$$R(\delta^n|Q) = \sum_{\omega \in \Omega} f(\omega) \sum_{\delta \in A(\omega)} f(\delta|\omega) [-\log q(\delta|\omega)] = \sum_{\omega \in \Omega} f(\omega) R[\delta^n(\omega)|Q] = \\ = H(\delta^n|\Omega) + r(\delta^n|Q) \geq H(\delta^n|\Omega), \quad (2)$$

где  $\{f(\omega) = n(\omega)/n, \omega \in \Omega\}$  и  $\{f(\delta|\omega) = n(\delta|\omega)/n(\omega), \delta \in A(\omega)\}$  – частотные распределения вероятностей,

$$H(\delta^n|\Omega) = \sum_{\omega \in \Omega} f(\omega) h[\delta^n(\omega)] = \sum_{\omega \in \Omega} f(\omega) \sum_{\delta \in A(\omega)} f(\delta|\omega) [-\log f(\delta|\omega)] \quad (3)$$

– эмпирическая энтропия (квазиэнтропия) последовательности  $\delta^n$ , а

$$r(\delta^n|Q) = R(\delta^n|Q) - H(\delta^n|\Omega) = \sum_{\omega \in \Omega} f(\omega) \left[ \sum_{\delta \in A^*} f(\delta|\omega) \log \left( \frac{f(\delta|\omega)}{q(\delta|\omega)} \right) \right] \geq 0 \quad (4)$$

– индивидуальная (для конкретной  $\delta^n$ ) избыточность кодирования. Выражения (2) и (3) суть верхняя и нижняя границы скорости кодирования, причем нижняя граница груба, если  $2m|\Omega| > n$ , где  $|Z|$  – число элементов множества  $Z$ .

Согласно (4)  $r(\delta^n|Q) = 0$ , тогда и только тогда, когда  $\{q(\delta|\omega)\} = \{f(\delta|\omega)\}$  для всех  $\omega$ . Но частоты  $f(\delta|\omega)$  – случайные величины, и в среднем (по  $\delta^n$ ) оптимален выбор  $q(\delta|\omega) = \tilde{p}(\delta|\omega)$ . Однако  $\tilde{p}(\delta|\omega)$  также неизвестны. Поэтому используем упрощенное комбинаторное универсальное кодирование (см., например, [2]).

Кодовое слово комбинаторного кода (описание изображения) состоит из двух частей. Первая из них (преамбула) содержит значения всех  $n(\delta|\omega) \in [0, n]$ ,  $\delta \in A^*$ ,  $\omega \in \Omega$ ; ее длина –  $\kappa(A^*, \Omega) \log(n+1)$  бит, где  $\kappa(A^*, \Omega) \leq (2m-1)|\Omega| - 1$ . А вторая часть – результат арифметического кодирования  $\delta^n$  с помощью частотных распределений  $\{f(\delta|\omega)\}$ ,  $\omega \in \Omega$ . Получив кодовое слово, декодер выделяет его преамбулу, “считывает” все  $n(\delta|\omega)$  и вычисляет все  $n(\omega)$  – суммы  $n(\delta|\omega)$  по  $\delta \in A^*$ . В результате становятся известными частотные распределения  $\{f(\delta|\omega)\}$ , использовавшиеся при кодировании, что позволяет однозначно декодировать вторую часть кодового слова.

Поскольку длина второй части кодового слова равна  $nH(\delta^n|\Omega)$  (см. (3)), избыточность комбинаторного кодирования определяет длина преамбулы: для него

$$r(\delta^n) = \frac{\kappa(A^*, \Omega) \log(n+1)}{n} \leq \frac{[(2m-1)|\Omega| - 1] \log(n+1)}{n}. \quad (5)$$

При больших  $\kappa(A^*, \Omega)$  правая часть (5) недопустимо велика: если  $|\Omega| > n$ , то она не меньше  $(2m-1) \log(n+1)$ . Разумеется, в этом случае многие  $n(\delta|\omega) \ll n$ . Поэтому можно уменьшить избыточность приблизительно в 2 раза (см., например, [3, 4]), но для изображений это обычно не решает проблему.

Пусть, например,  $m = 256$ ,  $\tau = 2$ , а  $n = 512^2$ . Даже если  $|\Omega| = 64$ , то есть в тысячу раз меньше максимального значения  $m^2$  и в четыре тысячи раз меньше  $n$ , из (5) получаем, что  $r(\delta^n|Q) \approx 2.24$  бит на пиксель (бт/п) – в десятки раз больше допустимых значений.

Для уменьшения избыточности нужно кардинально уменьшить число  $\kappa(A^*, \Omega)$  параметров модели. При этом квазиэнтропия увеличится (из-за уменьшения точности описания модели),

но избыточность (5) уменьшится и скорость кодирования также может стать меньше. Способ решения этой задачи определяет важный этап адаптации универсального кодирования к характерным свойствам изображений.

Границы однородных областей и условные распределения  $\{\tilde{p}(\delta|\omega)\}$  неизвестны, но контекст  $\omega_{ij}$  позволяет оценить уровень флюктуаций отсчетов в окрестностях точки  $(i, j)$  и выбрать кодовое распределение  $\{q(\delta|\omega_{ij})\}$ . В качестве оценки используем функцию (1) и будем считать, что чем ближе значения  $\sigma(\omega)$ , тем меньше различие распределений  $\{\tilde{p}(\delta|\omega)\}$ , измеряемое избыточностью их совместного кодирования.

Следуя этой гипотезе, выберем  $u_0 = 0$ ,  $u_D = m^\lambda$  и множество  $U = \{u_d, d < D\}$  натуральных порогов, где  $u_{d-1} < u_d$ . Оно определяет множество  $S = S(U)$  укрупненных состояний  $s_d = \{\omega : \sigma(\omega) \in [u_{d-1}, u_d - 1]\}$  и подпоследовательности  $\delta^n(s)$  – объединения  $\delta^n(\omega)$  по всем  $\omega \in s$  суммарной длины  $n(s)$ . Минимальная длина описания изображения (квазиэнтропия)  $H(\delta^n|S) = H(\delta^n|U)$  определяется так же, как в (4).

В правой части (5) нужно уменьшить не только число состояний  $|\Omega|$ , но и число  $m-1$  независимых параметров условных распределений. Для произвольных распределений это невозможно. Но  $\{f(\delta|s)\}$  – достаточно “гладкие” функции  $\delta$ , и их можно аппроксимировать простыми функциями  $q(\delta|s)$ . Одна такая функция не обеспечивает приемлемую точность аппроксимации всей  $f(\delta|s)$ . Поэтому разобьем алфавит  $A^*$  на  $2\mu(s)+1$  диапазонов  $M_k(s) = [m_{k-1}(s)+1, m_k(s)]$ ,  $k \in [-\mu(s), \mu(s)]$ , где  $m_{-\mu-1}(s) = -m$ ,  $m_\mu(s) = m-1$ , и используем в них разные кодовые распределения  $\{q(\delta|s, k), \delta \in M_k(s)\}$ .

Обозначив через  $f(k|s)$  сумму  $f(\delta|s)$  по  $\delta \in M_k(s)$ , учитывая, что  $q(\delta|s, k)$  нормированы в  $M_k(s)$ , и полагая, что  $f(k|s)$  известны не только кодеру, но и декодеру, имеем

$$q(\delta|s) = f(k|s)q(\delta|s, k) \quad \forall \delta \in M_k(s). \tag{6}$$

Из выражений (2) и (6) следует, что

$$R(\delta^n|S) = \sum_{s \in S} f(s) \left\{ \sum_{k=-\mu(s)}^{\mu(s)} f(k|s) \left[ -\log f(k|s) + \sum_{\delta \in M_k(s)} f(\delta|s, k) (-\log q(\delta|s, k)) \right] \right\}, \tag{7}$$

а поскольку  $f(\delta|s) = f(k|s) f(\delta|s, k)$ , из выражений (4) и (6) получаем

$$r(\delta^n|Q) = \sum_{s \in S} f(s) \left\{ \sum_{k=-\mu(s)}^{\mu(s)} f(k|s) \left[ \sum_{\delta \in M_k(s)} f(\delta|s, k) \log \left( \frac{f(\delta|s, k)}{q(\delta|s, k)} \right) \right] \right\}. \tag{8}$$

К этой величине нужно добавить “избыточность”  $r(\delta^n)$  преамбулы кодового слова, но теперь вместо всех  $n(\delta|s)$  последняя содержит только описания  $m_k(s)$ ,  $f(k|s)$  и функций  $q(\delta|s, k)$  (без этих данных декодер не сможет восстановить  $\delta^n$ ).

Выражения в квадратных и фигурных скобках в (7) и (8) – скорость кодирования и избыточность аппроксимации частотных распределений для  $k$ -го диапазона состояния  $s$  и всего состояния  $s$ , соответственно.

В результате перехода к укрупненным состояниям и аппроксимации частотных распределений  $\{f(\delta|s, k)\}$  значение  $\kappa(A^*, \Omega)$  в (5) заменяется на

$$\kappa^*(M, S) = 2 \sum_{s \in S} \mu(s) + |S|,$$

где  $M$  – множество разбиений алфавита  $A^*$  на диапазоны для всех  $s \in S$ . Структура комбинаторного кода сохраняется, длина его преамбулы кардинально уменьшается, а длина второй части увеличивается на величину, зависящую от точности аппроксимации.

По-видимому, впервые в упрощенном виде подобный подход был применен в [5].

## 4. ПРЕДВАРИТЕЛЬНЫЙ АНАЛИЗ ТОМОГРАММ

Адаптация описанного выше общего метода сжатия к любому типу изображений состоит в выборе “предсказателя”, множества состояний  $S$ , числа и границ диапазонов для каждого  $s \in S$  и функций  $q(\delta|s, k)$  для всех пар  $(s, k)$ . Далее мы ограничимся рассмотрением компьютерных томограмм. В качестве экспериментального материала используем по две томограммы трех видов тканей: брюшной полости (Т1,Т2), легких (Т3,Т4) и головного мозга (Т5,Т6). Томограммы были предоставлены Отделением лучевой диагностики Клиники преедвестники внутренних болезней им. В.Х. Василенко (томограф HiSpeed CT/i компании General Electric).

## 4.1. Компьютерные томограммы как изображения

Компьютерная (рентгеновская) томограмма – полутоновое изображение размера  $N = 512 \times 512$  пикселей. Оно содержит область восстановления (обычно это круг, вписанный в квадрат) и область фона, в которой восстановление не производилось. Значения яркости, полное число которых равно 4096, взаимно однозначным преобразованием переводятся в диапазон  $[1, 4096]$ , а точкам фона приписывается значение 0.

Диапазон значений яркости томограмм заметно превышает возможности человеческого глаза по их наблюдению, а заодно и возможности большинства видеоадаптеров по воспроизведению полутоновых изображений: глаз различает порядка 64 градаций серого, воспроизводимые полутоновые изображения имеют стандартно 256 градаций яркости. Поэтому производится визуализация томограмм в окне  $[x_{\min}, x_{\max}]$ , которое выбирается исходя из диагностических задач. Это означает, что диапазон  $[x_{\min}, x_{\max}]$  линейно отображается на диапазон  $[0, 255]$ , значения  $x < x_{\min}$  – в 0, значения  $x > x_{\max}$  – в 255.

На рис. 1а–е представлены томограммы Т1–Т6 в окнах визуализации  $[864, 1264]$ ,  $[0, 1174]$  и  $[1024, 1120]$  для трех пар томограмм, соответственно. Для второй пары  $x_{\min} = 0$ , и на рис. 1в и 1г хорошо различаются области фона и восстановления, а на рис. 1е проявилось образование, неразличимое при использовании полного диапазона.

## 4.2. Алгоритм предсказания и состояние для фона

Используем простейший предсказатель:  $\tau = 2$ ,  $\omega_{ij} = \{x_{i,j-1}, x_{i-1,j}\}$  – самый компактный контекст,  $\hat{x}_{ij} = (x_{i,j-1} + x_{i-1,j})/2$  (с точностью до округления), и  $\sigma_{ij} = |x_{i,j-1} - x_{i-1,j}|$ . Предсказание для элементов с  $i = 1$  или  $j = 1$  обеспечим добавлением строки с  $i = 0$  и столбца с  $j = 0$ , все элементы которых равны нулю. В результате ошибки предсказания почти всех элементов первой строки и первого столбца равны нулю.

Для описания значений  $\delta$  в области фона добавим к множеству  $S$  состояние  $s_0$ . Его нельзя определить, как состояния  $s_d$ ,  $d > 0$ , поскольку  $\sigma_{ij} = 0$  не только для точек фона. Но  $\omega = (0, 0)$  только для фона, и в качестве  $s_0$  используется этот контекст:

$$s_0 = \omega = (0, 0). \quad (9)$$

Одновременно в определение остальных обобщенных состояний добавляется дополнительное условие  $x_{i,j-1} + x_{i-1,j} > 0$ . Таким образом, число состояний увеличилось до  $D+1$ .

## 4.3. Квазиэнтропийные нижние границы скорости кодирования

Если  $D = 0$ , то частотные распределения  $\{f(\cdot)\}$  значений всех элементов матриц  $X$  и  $\Delta$  определяют их квазиэнтропии нулевого порядка (суммирование по  $s$  отсутствует). При  $D = 1$  используются состояния  $s_0$  и “не  $s_0$ ”. Отметим, что для всех томограмм  $f(s_0) = 0.210278$ , а значения  $H(s_0)$  равны 0.0384, 0.0413, 0.0426, 0.0429, 0.0374 и 0.0284 бт/п, соответственно.

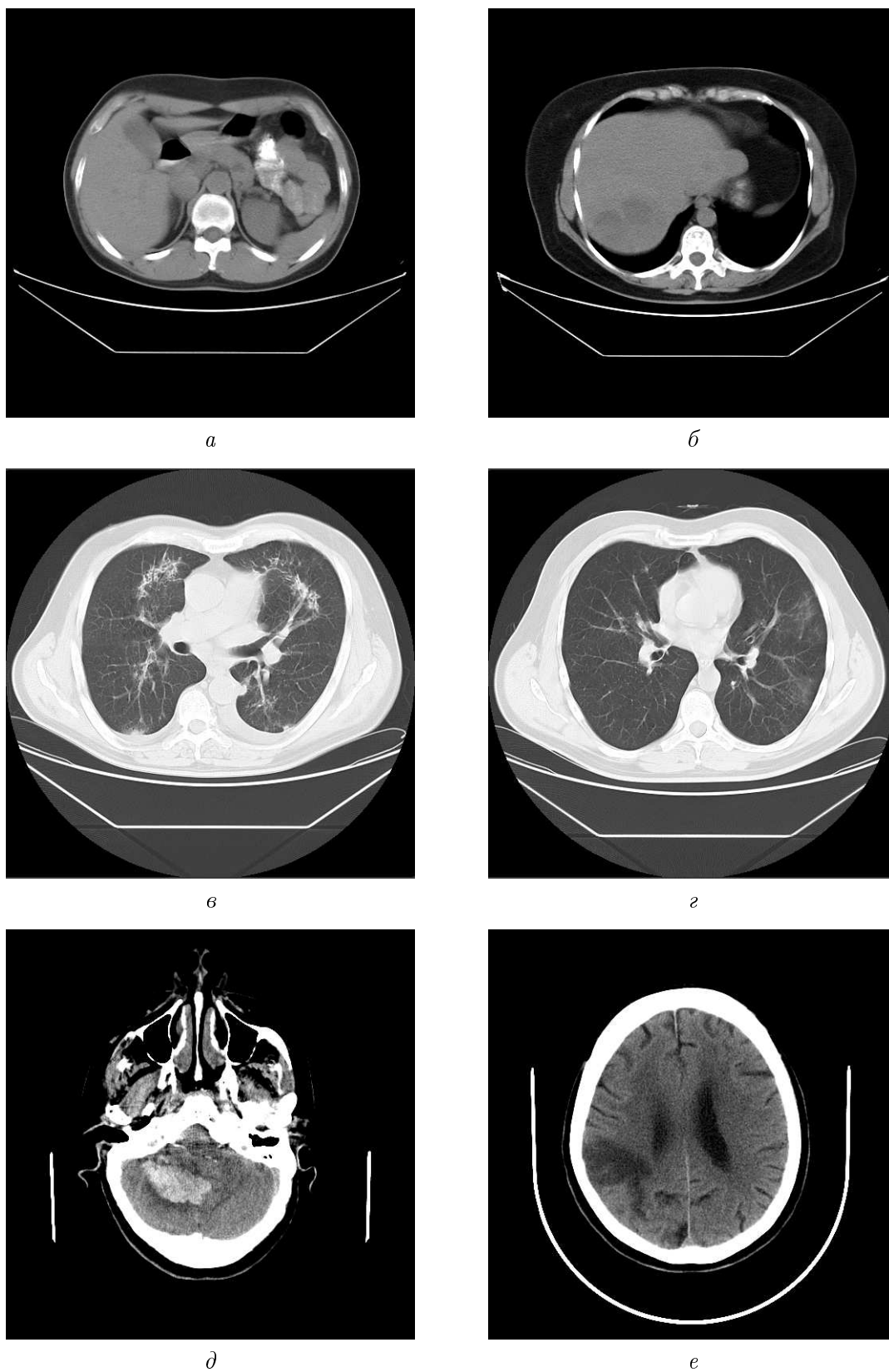


Рис. 1. Томограммы T1–T6 в окнах визуализации [864, 1264], [0, 1174] и [1024, 1120] для первой (*a*, *б*), второй (*в*, *г*) и третьей (*д*, *е*) пары, соответственно.

Полученные данные приведены в табл. 1. Буква  $x$  или  $\delta$  в начале строки таблицы означает, что она содержит значения квазиэнтропии  $x^n$  или  $\delta^n$ . Из приведенных данных следует, что при  $D=0$  переход от отсчетов к ошибкам предсказания уменьшает квазиэнтропию на 1.165–2.434, а при  $D=1$  – на 1.123–2.207 бт/п. Поэтому целесообразность этого перехода очевидна.

**Таблица 1.** Нижние границы скорости кодирования,  $D = 0, 1$

	$D$	T1	T2	T3	T4	T5	T6
$x$	0	7.334	7.692	8.374	8.208	7.427	7.301
$x$	1	6.643	6.981	7.663	7.497	6.716	6.586
$\delta$	0	5.353	5.636	7.132	7.043	5.115	4.867
$\delta$	1	4.769	5.032	6.451	6.374	4.674	4.379

В табл. 2 каждой томограмме отведены три строки и три пары столбцов в этих строках для  $D = 2, 3, 4$ . Три строки первого столбца содержат: 1) множество порогов  $U^* = \{u_1^*, \dots, u_{D-1}^*\}$ , минимизирующее квазиэнтропию для  $S^* = S(U^*)$ , 2) вероятности  $f(s)$  для  $U = U^*$  и всех  $s \neq s_0$  (данные по  $s_0$  см. выше) и 3) значения  $H(\delta^N|s)$ . Число в средней строке второго столбца (выделенное жирным шрифтом) содержит значение  $H(U^*)$ .

Уже при  $D=3$  разность значений  $H(U^*)$  для  $D$  и  $D+1$  составляет всего 0.015–0.023 бт/п, и лишь для наиболее “неоднородной” томограммы T5 она равна 0.061. Кроме того, с ростом  $D$  увеличиваются число неизвестных параметров и избыточность  $r(\delta^n)$  (см. аналог (5)). Поэтому нет оснований для дальнейшего увеличения числа  $D$ .

Не исключено, что другое определение обобщенных состояний может улучшить результаты: его поиск – тема отдельного исследования.

**Таблица 2.** Нижние границы скорости кодирования,  $D = 2 - 4$

$D$	2		3		4	
T1	37 0.683; 0.107 5.321; 8.622	<b>4.564</b>	23, 101 0.625; 0.116; 0.049 5.194; 6.195; 9.277	<b>4.508</b>	15, 37, 114 0.536; 0.146; 0.062; 0.045 5.088; 5.955; 7.416; 9.286	<b>4.487</b>
T2	41 0.672; 0.118 5.669; 8.622	<b>4.835</b>	29, 106 0.628; 0.107; 0.055 5.575; 7.258; 9.216	<b>4.790</b>	16, 37, 117 0.495; 0.166; 0.078; 0.051 5.434; 6.122; 7.535; 9.239	<b>4.771</b>
T3	149 0.696; 0.094 7.780; 9.721	<b>6.335</b>	101, 257 0.629; 0.113; 0.048 7.699; 8.664; 10.04	<b>6.309</b>	87, 175, 468 0.593; 0.121; 0.053; 0.022 7.671; 8.336; 9.404; 10.11	<b>6.294</b>
T4	161 0.711; 0.079 7.682; 9.900	<b>6.250</b>	87, 270 0.617; 0.128; 0.045 7.560; 8.510; 10.19	<b>6.219</b>	1, 87, 270 0.013; 0.604; 0.128; 0.045 6.010; 7.561; 8.510; 10.19	<b>6.200</b>
T5	19 0.578; 0.212 4.549; 8.235	<b>4.381</b>	1, 21 0.094; 0.494; 0.201 2.279; 4.819; 8.301	<b>4.276</b>	1, 14, 61 0.094; 0.446; 0.140; 0.110 2.279; 4.649; 6.746; 8.879	<b>4.215</b>
T6	16 0.605; 0.185 4.088; 8.366	<b>4.024</b>	12, 44 0.580; 0.091; 0.119 3.992; 6.715; 8.798	<b>3.976</b>	12, 39, 274 0.580; 0.084; 0.101; 0.025 3.991; 6.612; 8.450; 9.242	<b>3.957</b>

## 5. ПАРАМЕТРЫ АЛГОРИТМА СЖАТИЯ. ОБЩЕЕ РАССМОТРЕНИЕ

Для каждой томограммы можно найти оптимальные значения порогов, границ и функции  $q(\delta|s, k)$  (из выбранного семейства) прямым перебором. Упростить такую трудоемкую процедуру можно совершенствованием алгоритма поиска решения или/и ценой увеличения избыточности. Эта проблема не является главной для проводимого в настоящей работе изучения потенциальных возможностей предложенного выше метода сжатия, но не игнорируется полностью.

Назовем параметр *устойчивым*, если существует его значение, при котором скорости кодирования томограмм одного класса мало отличаются от минимальных, и *неустойчивым* в противном случае. Поиск решения тем проще, чем больше доля устойчивых параметров. Их значения включают в программу алгоритма сжатия, а значения неустойчивых нужно искать, а затем приводить в преамбуле кодового слова. Устойчивость проверяют, “настраивая” параметр с помощью томограмм одной группы и оценивая эффективность выбора на другой (контрольной) группе.

Далее  $D=4$ , если не оговаривается другое.

## 5.1. О выборе и устойчивости порогов

Чем точнее функции  $q(\delta|s, k)$  описывают соответствующие  $f(\delta|s, k)$ , тем ближе оптимальные множества порогов  $U$  к приведенным в табл. 2 множествам  $U^* = U^*(\delta^n)$ , а скорости кодирования – к минимумам квазиэнтропии  $H(\delta^n|U^*)$ .

Расчеты показывают, что  $H(\delta^n|U)$  – достаточно “гладкая” функция порогов  $u_d$ ,  $d > 0$ , и чем больше  $d$ , тем слабее увеличение избыточности

$$r(U) = H(\delta^n|U) - H(\delta^n|U^*) \quad (10)$$

зависит от  $|u_d - u_d^*|$ . Так, при замене  $U^*(T3) = (87, 175, 468)$  на  $U = (70, 150, 400)$  получаем  $r(U) = 0.0007$  бт/п. Этот и многие другие примеры позволяют надеяться на существование устойчивых множеств  $U$ .

Обозначим через  $T_i \rightarrow T_j$  использование множества  $U^*(T_i)$ , оптимального для  $T_i$ , при сжатии томограммы  $T_j$ . Получаемые в результате значения избыточности (10) для трех пар томограмм равны

$$\begin{aligned} T1 \rightarrow T2 : 0.0002; & \quad T3 \rightarrow T4 : 0.0064; & \quad T5 \rightarrow T6 : 0.0191; \\ T2 \rightarrow T1 : 0.0006; & \quad T4 \rightarrow T3 : 0.0056; & \quad T6 \rightarrow T5 : 0.0866. \end{aligned}$$

Эти результаты приемлемы (кроме 0.0866). Большие значения для  $T5$  и  $T6$  объясняются, по-видимому, тем, что  $T5$  содержит не только ткани головного мозга, как  $T6$ , но и лицевую часть. В целом же результаты можно считать обнадеживающими.

Если для томограммы  $T$  некоторой пары  $u_1^* = 1$ , то в качестве общего (для этой пары) множества порогов предпочтительнее использовать  $U = U^*(T)$ . Для  $(T3, T4)$  различие в использовании  $U^*(T3)$  или  $U^*(T4)$  невелико, но для  $(T5, T6)$  составляет 4.5 раза (!). Более того, при  $u_1 = 1$  отличие минимумов квазиэнтропии по  $u_2$  и  $u_3$  от  $H(\delta^N|U^*)$  меньше 0.02 бт/п для всех шести гистограмм и быстро убывает с ростом  $D$ .

Эти факты привлекли внимание к значению  $u_1$ . При  $u_1 = 1$  для каждой томограммы были найдены оптимальные значения порогов  $u_2$  и  $u_3$  и соответствующие им избыточности (10). Для шести рассматриваемых томограмм они равны:

$$\begin{aligned} T1 : \{23, 101\}, 0.0189; & \quad T3 : \{101, 257\}, 0.0044; & \quad T5 : \{14, 061\}, 0.0000; \\ T2 : \{29, 113\}, 0.0191; & \quad T4 : \{087, 270\}, 0.0000; & \quad T6 : \{12, 044\}, 0.0171. \end{aligned}$$



По сравнению с данными табл. 2 различие порогов для Т1 и Т2 немного увеличилось, а для двух других пар уменьшилось. Перейдя к средним арифметическим значениям порогов  $u_2$  и  $u_3$  этих пар, получаем для них множества  $\bar{U}_1$ , скорости кодирования и избыточности

$$\begin{aligned} \text{Т1 и Т2} &: \{1, 26, 107\}, \quad 4.5067 \text{ и } 4.7886, \quad 0.0199 \text{ и } 0.0171; \\ \text{Т3 и Т4} &: \{1, 94, 263\}, \quad 6.2991 \text{ и } 6.2000, \quad 0.0048 \text{ и } 0.0004; \\ \text{Т5 и Т6} &: \{1, 13, 052\}, \quad 4.2166 \text{ и } 3.9748, \quad 0.0012 \text{ и } 0.0176. \end{aligned}$$

На различие этих приемлемых результатов могут влиять области воздуха. Действительно, отсчеты этой области одинаковы с точностью до квантового шума, и для них велика вероятность того, что  $\sigma(\omega) = 0$  и  $\delta = 0$  одновременно. Выбор  $u_1 = 1$  позволяет рассмотреть эту ситуацию отдельно от других. С этой гипотезой согласуются экспериментальные данные. Для Т3 и Т4, содержащих много распределенного воздуха в легких,  $r(\bar{U}_1) < 0.005$  бт/п (см. (10)), а для Т5, содержащей много воздуха в лицевой части,  $r(\bar{U}_1) = 0.0012$  бт/п. А в Т1, Т2 и Т6 воздуха мало, и для  $u_1 = 1$  и средних значений  $u_2$  и  $u_3$  избыточность лишь немного меньше 0.020 бт/п.

Можно усреднять и значение  $u_1$ . Например, для Т1 и Т2 в этом случае получаем множество  $\bar{U} = \{15, 37, 115\}$  и избыточности (10), равные 0.0001 и 0.0003 бт/п соответственно. Имеются и другие способы получения устойчивых множеств  $U$ . Но далее для упрощения расчетов используются множества  $\bar{U}_1$ , приведенные выше.

### 5.2. Симметризация условных распределений вероятностей

Следующий способ позволяет уменьшить число искомых границ диапазонов и аппроксимирующих функций  $q(\delta|\tilde{s}, k)$ .

Пусть  $f = \{f(\delta), \delta \in A^*\}$  – произвольное частотное распределение вероятностей. Перейдем от него к распределению  $g(f) = \{g(\delta|f), \delta \in A^*\}$ , где  $g(0|f) = f(0)$  и

$$g(\delta|f) = g(-\delta|f) = 0.5 [f(\delta) + f(-\delta)] = 0.5 f(|\delta|), \quad \delta \neq 0.$$

В этом распределении любому  $|\delta| \in A$  приписывается оптимальная вероятность  $f(|\delta|)$ , а знаку  $\delta \neq 0$  – вероятность 0.5. Если при кодировании заменить распределение  $f$  на  $g(f)$ , то из-за описания знака одним битом скорость кодирования увеличится на

$$r(g|f) = \sum_{\delta \in A^*} f(\delta) \log \left[ \frac{f(\delta)}{g(\delta|f)} \right] = h[g(f)] - h(f) \in [0, 1 - f(0)], \quad (11)$$

где  $h(\cdot)$  – энтропийная функция соответствующего распределения вероятностей. Эта величина – *избыточность симметризации* распределения  $f$  относительно  $\delta = 0$ . Ее минимум и максимум достигаются, когда соответственно  $f(\delta) = f(-\delta)$  и  $f(\delta) \cdot f(-\delta) = 0$  для всех  $\delta \neq 0$ .

Заменив в (11) распределение  $f = \{f(\delta)\}$  на  $f_s = \{f(\delta|s)\}$ , получим  $r(g|f_s) = r(g|s)$ . А для всей томограммы избыточность симметризации равна

$$r(G) = \sum_{s \in S} f(s) r(g|s), \quad (12)$$

где  $r(g|s) = 0$ , если  $\{f(\delta|s)\}$  по каким либо причинам не симметризовано. Правая часть (12) – увеличение скорости кодирования (цена симметризации).

### 5.3. Диапазоны и аппроксимирующие функции

Оптимальные границы диапазонов для  $\{g(\delta|f_s)\}$  симметричны относительно центра  $\delta = 0$ ,  $q(\delta|s, k) = q(-\delta|s, -k)$ , т. е. число искомых границ и функций  $q(\delta|s, k)$  уменьшилось вдвое (!).

Поэтому далее почти всегда рассматриваются симметризованные условные распределения вероятностей и всегда  $k \geq 0$ .

Нередко  $f(0|s)$  значительно отличается от соседних частот. Поэтому для всех  $s$  будем использовать диапазон  $M_0(s) = [0]$ , включающий только  $\delta = 0$ . Для единственного значения аппроксимация не имеет смысла, а избыточность равна нулю.

Совместная избыточность кодирования подпоследовательности  $\delta^n(s)$ , вызванная симметризацией  $f_s = \{f(\delta|s)\}$  и последующей аппроксимацией  $g(\delta|f_s)$ , равна

$$r(g, q|s) = \sum_{\delta \in A^*} f(\delta|s) \log \left[ \frac{f(\delta|s)}{q(\delta|s)} \right] = \sum_{\delta \in A^*} f(\delta|s) \left\{ \log \left[ \frac{f(\delta|s)}{g(\delta|f_s)} \right] + \log \left[ \frac{g(\delta|f_s)}{q(\delta|s)} \right] \right\}, \quad (13)$$

где сумма по  $\delta$  первого слагаемого в фигурной скобке – избыточность  $r(g|s)$  (см. (11)).

Для симметризованного распределения в (6)–(8) нужно заменить  $f(k|s)$  и  $f(\delta|s, k)$  на  $g(k|s)$  (сумму  $g(\delta|f_s)$  по  $\delta \in M_k(s)$ ) и  $g(\delta|s, k) = g(\delta|f_s)/g(k|s)$ , соответственно. В результате сумма по  $\delta$  второго слагаемого в фигурной скобке выражения (13) равна

$$r(q|g, s) = 2 \sum_{k=1}^{\mu(s)} g(k|s) \left\{ \sum_{\delta \in M_k(s)} g(\delta|s, k) \log \left[ \frac{g(\delta|s, k)}{q(\delta|s, k)} \right] \right\} = 2 \sum_{k=1}^{\mu(s)} g(k|s) r(q|g, s, k) \quad (14)$$

(это аналог выражения в фигурной скобке в (8)). При этом учитывалось, что: 1) границы диапазонов и функций  $q(\delta|s, k)$  симметричны относительно  $\delta = 0$ ; 2) при  $k = 0$  соответствующее слагаемое равно нулю; 3)  $f(\delta|s) + f(-\delta|s) = 2g(\delta|f_s) = 2g(k|s)g(\delta|s, k)$  при  $k \neq 0$ . Выражение в фигурных скобках – избыточность  $r(q|g, s, k)$  аппроксимации распределения  $\{g(\delta|s, k), \delta \in M_k(s)\}$  кодовым условным распределением  $\{q(\delta|s, k)\}$ . Таким образом,  $r(g, q|s)$  – сумма избыточностей симметризации и аппроксимации.

Первое равенство в (13) позволяет сразу вычислить  $r(g, q|s)$ . Но  $q(\delta|s)$  – составная функция, и вычисления пришлось бы выполнять так же, как в (14). Кроме того, при этом не выявляется влияние двух разных факторов на избыточность. Поэтому далее будем представлять  $r(g, q|s)$  и ее среднее (по  $s \in S$ ) значение  $r(G, Q)$  в виде сумм  $r(g|s) + r(q|g, s)$  и  $r(G) + r(Q|G)$ , соответственно.

Итак, для каждого  $s$  совместный выбор числа диапазонов, их границ и аппроксимирующих функций должен быть основан на анализе избыточности  $r(q|g, s)$ . Опишем процедуру, которая может служить основой такого выбора.

Поскольку  $M_0(s) = [0]$  (см. выше), начинаем с диапазона  $M_1(s) = [1, m_1(s)]$ . Взяв одну из функций семейства, увеличиваем  $m_1(s)$  до тех пор, пока при *оптимальных значениях* ее свободных параметров выполняется *условие расширения*. Затем повторяем эту процедуру для других функций. Функция и значения ее параметров, для которых  $m_1(s)$  максимальна, определяют  $M_1(s)$  и  $q(\delta|s, 1)$ . После этого переходим к диапазону  $M_2(s)$ , у которого левая граница  $m_1(s) + 1$  уже известна, и т. д.

Условием расширения можно было бы считать выполнение неравенства  $r(q|g, s, k) \leq \varepsilon$ : тогда  $r(q|g, s)$  и  $r(Q|G)$  не больше  $\varepsilon$  (см. (14)). При больших  $f(s)$  и малых  $|\delta|$  распределения  $g(\delta|f_s)$  – достаточно гладкие функции (см. рис. 2 а), и применение этого неравенства может быть оправдано. Но при малых  $f(s)$  или средних  $|\delta|$  распределения содержат большую “флюктуационную” составляющую, а при больших  $|\delta|$  положительные значения перемежаются нулями (см. рис. 2 б и 2 в, соответственно). Поэтому для гладких функций  $q(\delta|s, k)$  в двух последних случаях значения  $r(q|g, s, k)$  ограничены снизу положительными константами. Недостаток упомянутого условия ослабляется переходом к неравенству  $g(k|s) \cdot r(q|g, s, k) \leq \varepsilon$ : в этом случае допустимые искажения тем больше, чем меньше  $g(k|s)$ . Но и это условие может служить лишь некоторым ориентиром.

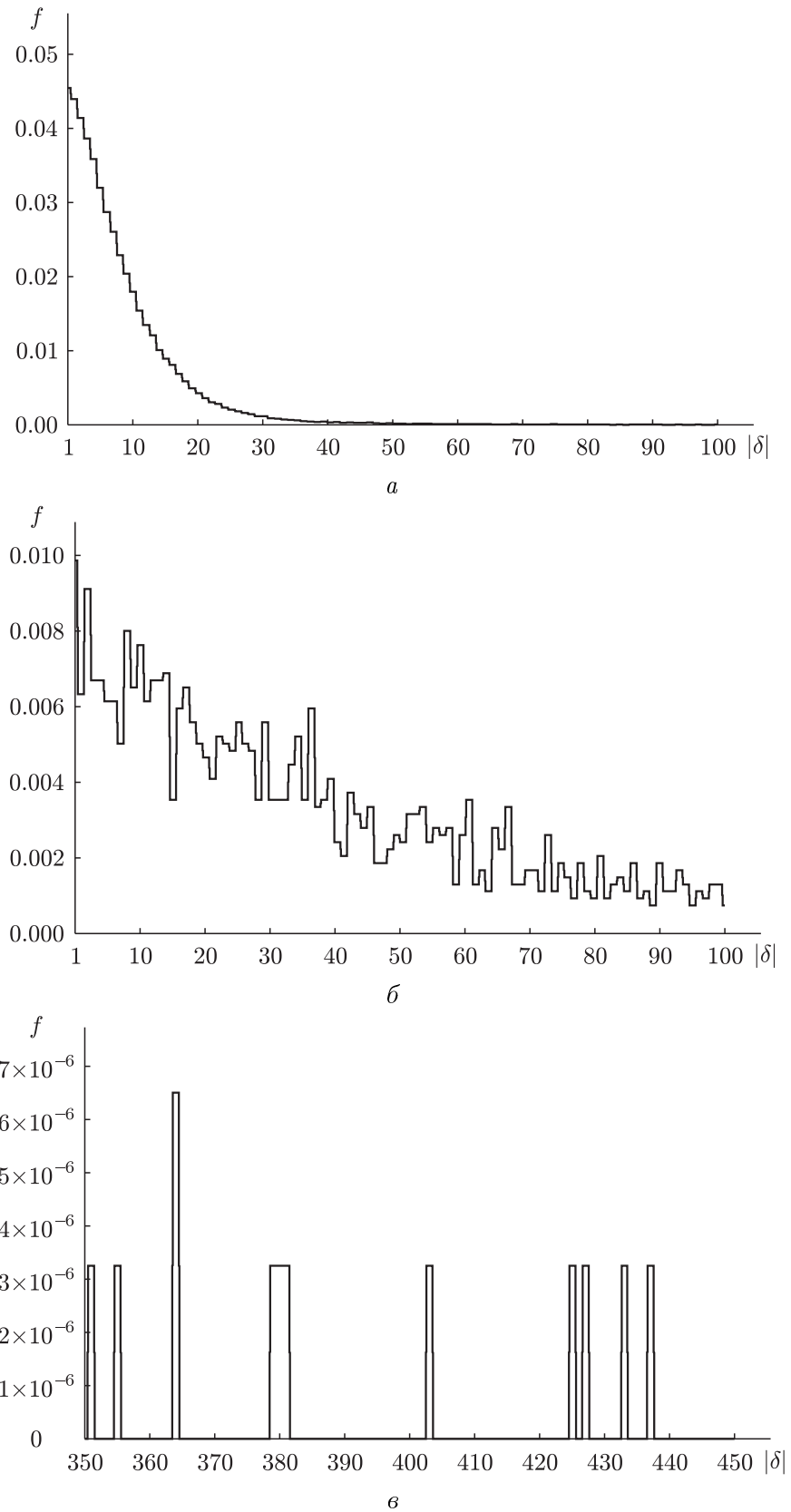


Рис. 2. Участки частотных распределений: томограмма T2 состояние  $S_2$  ( $a$ ,  $\epsilon$ ), томограмма T3 состояние  $S_1$  ( $b$ ).

Будем выбирать  $q(\delta|s, k)$  в небольшом семействе простых гладких функций с малым числом свободных параметров. Далее используется семейство двух видов функций, не возрастающих с ростом  $|\delta|$ :

$$L: q(\delta|s, k) = c_0 - c_1|\delta|, \quad c_1 \geq 0; \quad E: q(\delta|s, k) = ce^{-\beta|\delta - \delta_0|^\gamma}, \quad \beta \geq 0, \quad (15)$$

где  $\delta_0$  – левая граница диапазона ( $\delta \geq \delta_0$ ). Поскольку функция  $q(\delta|s, k)$  должна быть нормирована в диапазоне  $M_k(s)$ , линейная функция имеет один свободный параметр, а экспоненциальная – два.

Таким образом, для большинства пар  $(s, k)$  преамбула кодового слова должна содержать: 1) значения границы  $m_k(s)$  и вероятность диапазона  $g(k|s)$ ; 2) тип аппроксимирующей функции (L или E) и значения ее свободных параметров. Нетрудно показать, что такая преамбула увеличивает избыточность менее чем на 0.01 бт/п. В п. 6.2 эта оценка уточнена.

## 6. ВЫБОР ДИАПАЗОНОВ И КОДОВЫХ УСЛОВНЫХ ВЕРОЯТНОСТЕЙ

Уточним общую идею совместного выбора диапазонов и функций  $q(\delta|s, k)$ , описанную в п. 5.3, для разных ситуаций.

### 6.1. Экспериментальные результаты

Границы области фона практически фиксированы, и  $f(0|s_0) = 0.997315$  для всех шести томограмм. Все  $\delta \geq 0$ , и для T1–T6 все  $\delta > 0$  с  $f(\delta|s_0) > 0$  лежат в интервалах небольшой длины [35, 141], [14, 87], [1, 182], [1, 147], [13, 38] и [1, 36], соответственно. Поэтому симметризация *не нужна*, и используются только диапазоны  $M_0(s_0) = [0]$  (см. п. 5.3) и  $M_1(s_0) = [1, m_1(s_0)]$ , где  $m_1(s_0)$  – правый край приведенного выше интервала для рассматриваемой томограммы. Поскольку вероятность  $f(1|s_0) = 1 - f(0|s_0) = 0.002685$  известна, ее не нужно описывать в преамбуле томограммы. Для всех  $d > 0$  распределения  $\{f(\delta|s_d)\}$  симметризованы,  $\mu(s_d) = 3$ , и в целом имеем

$$r(Q|G) = f(1|s_0)r(q|s_0, 1) + \sum_{d=1}^3 f(s_d)r(q|g, s_d); \quad (16)$$

величины  $r(q|g, s_d)$ ,  $d > 0$ , определены в (14).

Табл. 3–5 содержат данные для одной томограммы из каждой пары (для  $s_0$  и  $k = 1$  приведены  $f(1|s_0)$ , а не  $g(1|s_0)$ ). Данные для остальных томограмм вычислены, но не приведены в целях экономии места. Для всех томограмм в сводной табл. 6 приведены значения компонент избыточности. Первый параметр  $\alpha \geq 1$  функции  $q(\delta|s_d, k)$  – отношение ее значений на левом и правом краях  $M_k(s_d)$ , а второй (для E) – значение  $\gamma \in [0.001, 3.999]$  (см. (15)). Описание параметра  $\alpha$  – три цифры и, в скобках, число цифр перед точкой (если оно равно четырем, то к трем цифрам справа добавляется ноль). Поэтому  $100(1) = 1.00 \leq \alpha \leq 9990 = 999(4)$ . Для каждого  $d$  жирным шрифтом приведены значения  $r(q|g, s_d)$  (см. (14) и (16)).

Выбранные способы описания оптимальных  $\alpha = \alpha^*$  и  $\gamma = \gamma^*$ , включая замену  $\alpha^* > 9990$  для  $M_3(s_3)$  томограмм T1, T2 и T3 на 9990 (при этом  $\gamma^*$  уменьшается) и  $\gamma^* < 0.001$  для  $M_1(s_0)$  томограммы T6 на 0.001 (при этом  $\alpha^*$  становится больше), увеличивают  $r(Q|G)$  менее чем на  $5 \cdot 10^{-6}$ . Поскольку такими увеличениями можно пренебречь, другие способы описания параметров не рассматривались.

Точность описания вероятностей, избыточностей и их произведений –  $10^{-6}$ , так как некоторые вероятности меньше  $10^{-4}$  (например,  $g(3|s_2) = 0.000062$  для T2), определение оптимальных  $\alpha = \alpha^* \leq 9990$  и/или  $\gamma^* \geq 0.001$  требует вычисления избыточности с точностью до  $10^{-6}$  бт/п, произведения в последнем столбце нередко меньше  $10^{-3}$ .

Таблица 3. Характеристики аппроксимаций для T1

$d$	$g(s_d)$	$k$	$m_k$	$g(k s_d)$	функция $q(\delta s_d, k)$	$r(q g, s_d, k)$	$g(\cdot) \cdot r(\cdot)$
0	0.210 278	1	141	0.002 685	L 369 (2) —	2.549 927	0.006 847 <b>0.006 847</b>
1	0.028 015	1	20	0.440 428	E 500 (2) 1.400	0.001 317	0.000 580
		2	45	0.009 259	E 117 (2) 0.829	0.112 421	0.001 041
		3	137	0.001 906	L 170 (2) —	1.648 920	0.003 143 <b>0.009 528</b>
2	0.615 376	1	30	0.463 098	E 150 (3) 1.267	0.002 289	0.001 060
		2	234	0.009 187	E 821 (3) 0.561	0.082 429	0.000 757
		3	1183	0.000 118	E 423 (4) 0.808	2.852 807	0.000 337 <b>0.004 308</b>
3	0.099 632	1	80	0.462 803	E 790 (2) 1.465	0.006 278	0.002 906
		2	309	0.026 170	E 168 (2) 0.622	0.144 617	0.003 785
		3	1271	0.002 297	E 999 (4) 0.547	1.213 262	0.002 787 <b>0.018 956</b>
4	0.046 700	1	150	0.317 677	L 100 (1) —	0.036 878	0.011 715
		2	400	0.178 280	E 152 (2) 2.220	0.057 806	0.010 306
		3	910	0.002 859	E 264 (3) 0.409	2.202 466	0.006 297 <b>0.056 636</b>

Таблица 4. Характеристики аппроксимаций для T3

$d$	$g(s_d)$	$k$	$m_k$	$g(k s_d)$	функция $q(\delta s_d, k)$	$r(q g, s_d, k)$	$g(\cdot) \cdot r(\cdot)$
0	0.210 278	1	182	0.002 685	E 596 (2) 0.119	0.888 540	0.002 386 <b>0.002 386</b>
1	0.010 250	1	70	0.293 264	E 435 (1) 1.020	0.033 084	0.009 702
		2	165	0.077 224	E 576 (1) 1.204	0.169 078	0.013 057
		3	540	0.009 304	E 460 (2) 0.476	2.573 357	0.023 943 <b>0.093 404</b>
2	0.602 440	1	170	0.488 191	E 178 (3) 1.353	0.001 910	0.000 932
		2	500	0.006 487	E 483 (2) 0.723	0.118 028	0.000 766
		3	1323	0.000 294	E 197 (4) 0.900	1.901 680	0.000 559 <b>0.004 514</b>
3	0.130 596	1	170	0.453 337	E 134 (2) 1.828	0.005 591	0.002 535
		2	500	0.039 433	E 380 (2) 0.823	0.091 538	0.003 610
		3	1521	0.004 396	E 999 (4) 1.160	1.111 250	0.004 885 <b>0.022 060</b>
4	0.046 436	1	200	0.262 795	L 100 (1) —	0.022 354	0.005 868
		2	600	0.221 802	E 670 (1) 1.145	0.060 146	0.013 341
		3	1048	0.014 335	E 117 (4) 1.403	0.628 694	0.009 012 <b>0.056 442</b>

Вряд ли все приведенные результаты оптимальны: некоторые из них улучшались несколько раз. Но все они определяют *достижимые* верхние границы избыточности.

Проведенные расчеты позволяют сформулировать ряд рекомендаций.

Таблица 5. Характеристики аппроксимаций для T6

$d$	$g(s_d)$	$k$	$m_k$	$g(k s_d)$	функция $q(\delta s_d, k)$		$r(q g, s_d, k)$	$g(\cdot) \cdot r(\cdot)$
0	0.210 278	1	36	0.002 685	E	438 (3) 0.001	0.151 609	0.000 407 <b>0.000 407</b>
1	0.051 846	1	10	0.417 372	E	149 (3) 1.390	0.001 435	0.000 599
		2	39	0.007 946	E	500 (1) 0.209	0.226 988	0.001 804
		3	320	0.001 656	E	450 (3) 0.722	1.931 304	0.003 198 <b>0.011 202</b>
2	0.536 312	1	10	0.414 660	E	703 (2) 1.390	0.000 795	0.000 330
		2	180	0.018 714	E	457 (3) 0.496	0.028 440	0.000 532
		3	399	0.000 295	E	331 (1) 1.072	1.659 383	0.000 486 <b>0.002 696</b>
3	0.092 033	1	25	0.358 866	E	478 (1) 1.451	0.007 648	0.002 745
		2	150	0.119 208	E	203 (2) 0.592	0.022 753	0.002 712
		3	405	0.009 388	E	213 (2) 0.449	0.484 080	0.004 545 <b>0.020 004</b>
4	0.109 531	1	35	0.154 547	L	100 (1) —	0.004 990	0.000 771
		2	190	0.281 719	E	609 (1) 1.063	0.008 534	0.002 403
		3	435	0.061 749	E	765 (2) 1.773	0.058 065	0.003 586 <b>0.013 520</b>

От расширения диапазона, вызывающего резкое увеличение избыточности, обычно следует отказываться. Например, для T6  $r(\delta|g, s_1, 1) = 0.001 435$ , если  $M_1(s_1) = [1, 10]$  (см. табл. 5). Расширение диапазона до  $[1, 11]$  увеличивает избыточность до 0.002 114 (в 1.5 раза), поэтому нужно вернуться к диапазону  $[1, 10]$ . Заметим, что при расширении диапазона избыточность может уменьшаться, а при сужении – увеличиваться.

В последнем диапазоне  $m_{\mu(s)}$  – минимальное натуральное число, такое что  $f(\delta|s) = 0$  для всех  $|\delta| > m_{\mu(s)}$ . Действительно, в противном случае значение оптимальной  $q(\delta|s, k)$  может быть равно или близко к нулю при  $\delta = m_k(s)$ : не имеет смысла выбирать  $q[m_k(s)|s, k] > 0$ , уменьшая общую кодовую вероятность других  $\delta \in M_k(s)$ . В результате  $\alpha^*$  может быть сколь угодно велико.

Для невозрастающих по  $|\delta|$  функций  $q(\delta|s, k)$  (как в (15)) значения  $\alpha^*$  нередко велики, если вероятности в диапазоне сильно “перекошены”. Это означает, что сумма вероятностей в малой левой части диапазона много больше, чем в остальной части. Например, для T1  $M_3(s_3) = [310, 1271]$  и  $g(3|s_3) = 0.002 297$ . Вероятности “поддиапазонов”  $[310, 440]$  и  $[441, 1271]$  равны 0.002 440 и  $g(1271|s_3) = 0.000 057$ , несмотря на то что длина первого из них – 131, а второго – 831. Поскольку  $q(\delta|s, k) \geq q(1271|s, k)$ , приходится выбирать  $q(1271|s, k) \ll g(1271|s, k)$ , чтобы не приписать второму поддиапазону чрезмерно большую вероятность. Отсюда получаем, что  $\alpha^* = 1.7 \cdot 10^6$ .

6.2. Сводная таблица компонент избыточности

Значения  $r(U)$  и  $r(G)$ , не зависящие от диапазонов и аппроксимирующих функций, были вычислены согласно (10)–(12) для  $U = \bar{U}_1$ . Значения  $r(Q) = r(Q|G)$  вычислялись по формулам (14) и (16) (значения  $g(s)$  содержатся во втором столбце табл. 3–5, а значения  $r(q|g, s)$  – в последнем столбце, жирным шрифтом). Результаты вычислений сведены в табл. 6 (в последней строке – сумма трех компонент).

**Таблица 6.** Компоненты избыточности

	T1	T2	T3	T4	T5	T6
$r(U)$	0.0199	0.0171	0.0048	0.0004	0.0012	0.0176
$r(G)$	0.0061	0.0037	0.0100	0.0101	0.0074	0.0098
$r(Q)$	0.0089	0.0066	0.0097	0.0106	0.0075	0.0055
$\Sigma$	0.0349	0.0274	0.0245	0.0211	0.0161	0.0329

В заключение определим дополнительное увеличение избыточности из-за сведений, помещаемых в преамбуле сжатого описания томограммы и необходимых для ее восстановления (см., например, конец п. 5.3).

На детальное описание типа (класса) ткани, при котором, например, T5 и T6 могут быть отнесены к разным классам, достаточно 6 бит.

На описание  $m_k$  и  $g(k|s)$  достаточно 12 и 18 бит, соответственно. В первом случае это очевидно, а во втором следует из того, что  $g(k|s)$ , как и каждая вероятность в (8), – отношение двух целых чисел, не превышающих  $n = 2^{18}$ .

Тип функции (L или E) определяет один бит. Поскольку  $\alpha_{\max} = 999(4) = 9990$ , на описание  $\alpha$  достаточно 12 бит: 2 и 10 бит тратятся на описание положения точки (от 1 до 4) и трех десятичных цифр, соответственно. Точно так же 2 и 10 бит нужны, чтобы описать целую часть  $\gamma$  (от 0 до 3) и три десятичных разряда после запятой. Следовательно, на описание аппроксимирующей функции нужно не больше 25 бит, а на все сведения об одном диапазоне – не более 55 бит.

Таким образом, на полное описание 12 диапазонов 4 состояний с  $d > 0$  достаточно 660 бит. К ним нужно добавить 37 бит на сведения об единственном диапазоне распределения  $\{f(\delta|s_0)\}$  (вероятность  $f(1|s_0)$  известна) и 6 бит на описание типа ткани. Разделив полученные 703 бита на  $n = 262\,144$  (число элементов томограммы), получим, что дополнительная избыточность меньше 0.0027 бт/п. Эту величину нужно прибавить к суммарным избыточностям (числам в последней строке табл. 6).

## 7. ЗАКЛЮЧЕНИЕ

Основные особенности описанного выше и экспериментально проверенного (на компьютерных томограммах) алгоритма сжатия изображений без искажений – качественно обоснованные процедуры укрупнения состояний и разбиения области значений ошибки предсказания на диапазоны.

Множество укрупненных состояний однозначно определяет нижнюю границу скорости кодирования – квазиэнтропию последовательности ошибок предсказания. Приведенные в п. 6.2 данные показывают, что при оптимальном выборе всех параметров алгоритма скорость кодирования превышает квазиэнтропию менее чем на 0.038 бт/п, или на 0.9%. Таким образом, потенциальные возможности сжатия для выбранного множества укрупненных состояний реализованы практически полностью. Улучшить результаты (если это возможно) можно только переходом к другому типу состояний.

Малая избыточность определяет наличие резерва – возможности увеличения числа состояний и диапазонов, уменьшения точности описания параметров аппроксимирующих функций, и т. д. Но сложность реализации алгоритма, лишь вскользь упоминавшаяся выше, в значительной степени зависит от числа неустойчивых параметров. Впрочем каждый параметр можно считать устойчивым ценой увеличения избыточности кодирования (для порогов это  $r(U)$ , см. (9)). Все эти вопросы – тема отдельного исследования.

Наличие большого числа свободных параметров и аппроксимирующих функций придает описанному выше алгоритму сжатия значительную гибкость и обеспечивает возможность адаптации к разным типам томограмм и некоторым другим видам изображений. Приведенные в разделе 6 экспериментальные результаты внушают уверенность в том, что эффективность сжатия будет достаточно высокой и в этих случаях.

## СПИСОК ЛИТЕРАТУРЫ

1. I. H. Witten, R. M. Neal, and J. G. Cleary. Arithmetic Coding for Data Compression. *Commun. of the ACM*, 1987, vol. 30, no. 6, pp. 520–540.
2. Yu. M. Shtarkov and V. F. Babkin, Combinatorial Encoding for Discrete Stationary Sources. *2nd Internat. Symp. on Inform. Theory. Tsahkadsor, Armenia, USSR, 1971*, Akadémiai Kiadó, Budapest, 1973, pp. 249–256.
3. R. E. Krichevsky and V. K. Trofimov The Performance of Universal Encoding. *IEEE Trans. Inform. Theory*, New York, 1981, vol. IT-27, no. 2, p. 199–207.
4. Ю. М. Штарьков. Универсальное последовательное кодирование отдельных сообщений. *Пробл. передачи информ.* 1987, т. 23, № 3, с. 3–17.
5. O. Franceschi, R. Forchheimer, and Yu. M. Shtarkov. An Adaptive Source Coding Method for Still Images. *Picture Coding Symposium. Programme and Abstracts*. Torino, Italy, Sept. 1988, pp. 6.5:1–2.

*Статью представил к публикации член редколлегии Н. А. Кузнецов*